

## Transient Dynamic Braking의 해석

黃 開 隆\*

## 序 論

## 本 論 A. D-C Braking

電氣的 機械的에 대비한 전자회로로서의 2相誘導電動機  
braking 現象의 過渡的인 dynamics 를 正確히 分析  
하기 為하여 直流制動과 プラ킹(plugging)의 두 現象을 取扱하였는데, Lagrangian 方法에 依하여 導出된  
一般化된 電氣機械의 運動方程式을 線型變換으로서  $\alpha\beta, dq$   
變換,  $\alpha\beta, fb$  變換 等을 行하여 變形시킨 式에 위 各現象의 條件을 代入計算으로 푸는 한편, 特의 非線型性  
을 갖는 運動方程式을 analog 電子計算機에 シミュ레이트  
한 후 各條件 및 定數를 變化시켜 現象을 考察하여 위  
計算으로 얻은 曲線과 比較하였다. たゞ에 實際機械의  
實驗으로 求한 資料를 添加하였다.

Analog 電子計算機에 依한 解석은 直流制動만을 取扱  
하였고, プラ킹은 シミュ레이션方法만을 前者에準하여 處  
하였다. 本文에 使用된 機械의 定數는 實驗에 依하여  
求하였다.

電氣機械는 電壓, 電流特性과 그 풍크特性이 元來 非  
線型牲을 內包하기 때문에 機械를 設計하거나 그것들의  
正確한 特特性을 研究하기 위해서는 analog 計算機로  
シミュ레이트하여 解析하거나 small signal法으로 어떤  
平衡點 附近을 線型化하여 解釋하는 것이 最善의 方法이  
다. 且 2相誘導電動機는 一般化된 例轉機械(generalized  
rotating machine)\*1에 가장 類似한 機械로서 모든  
電氣機械解석의 基礎가 되어 固定子 M相, 回轉子  
N相의 機械를 等價2相電動機로 計算하여 解析可能할 수 있고  
整流子機械는 이것의 線型變換<sup>\*3</sup>으로 解析할 수 있다.

그리므로 2相誘導電動機의 위두가지 現象을 analog  
計算機에 シミュ레이트하여 解析함은 비슷한 2相식이 보  
도오거나 直流機의 braking의 dynamics를 解析가능하게  
하고 機械設計에도 도움을 줄 것이다.

本 論文에서 使用된 數式과 記號는 附錄A에, 實驗으  
로求한 電動機定數는 附錄B에 각각 說明해 놓았다.

\* 서울大學校工科大學 電氣工學科

## 1. 概 説

一定速度로 回轉하고 있는 2相籠型誘導電動機를 電  
流으로부터 차단과 同時に 2相中 1相에만 一定直流電流  
를 흘려 braking 시킨다. 이 直流 braking 條件을  $\alpha\beta, fb$   
變換으로 원우 附錄 A(11)', (12)'式에 代入하여 計  
算으로 運動方程式을 풀고 다음에  $\alpha\beta, dq$  變換으로 附  
錄 A(7)', (8)式'에 같은 條件를 代入하여 analog  
計算機에 シミュ레이트(simulate)한 후 比較하였다. たゞ에  
time scaling을 行하여 電氣的 過渡볼크에 對하여  
條件과 定數를 變化시킬 때 影響을 考察하였고 small  
signal法으로 平衡點 附近에 對하여 analog 計算機로  
シミュ레이트 하는法도 離示하였다.

2.  $\alpha\beta, fb$  變換式에 依한 D-C Braking 解析

轉起電源으로서 電流를 쓰면

$$\begin{bmatrix} i_a \\ i_b \end{bmatrix} = \sqrt{\frac{1}{2}} \begin{bmatrix} 1 & j \\ 1 & -j \end{bmatrix} \begin{bmatrix} i_\alpha \\ i_\beta \end{bmatrix}$$

$\alpha$  相에 一定直流  $I$ 를 흘리고  $\beta$  相은 開放하므로

$$i_\alpha = I \quad i_\beta = 0$$

이므로

$$i_a = \frac{1}{\sqrt{2}} I$$

$$i_b = -\frac{1}{\sqrt{2}} I$$

$$v_\alpha^r = v_\beta^r = 0 \quad \therefore v_a^r = v_b^r = 0$$

그리므로 附 A(11)', (12)'式은 ( $\phi = \omega_m$ 은 一定하다  
고 볼 수 있을 때)

$$\begin{bmatrix} v_a^s \\ v_b^s \\ 0 \end{bmatrix} = \begin{bmatrix} R^s + L_\alpha^s p & 0 & L_\beta^s p \\ 0 & R^s + L_\beta^s p & 0 \\ L_\alpha^s(p+jn\omega_m) & 0 & R^r + L_\beta^r(p+jn\omega_m) \\ 0 & L_\beta^r(p+jn\omega_m) & 0 \end{bmatrix} \begin{bmatrix} i_\alpha \\ i_\beta \\ 0 \end{bmatrix}$$

$$\begin{array}{|c|c|} \hline & 0 \\ \hline L'_a p & \left| \begin{array}{c} I^s \\ \sqrt{\frac{I^s}{2}} \\ \frac{I^s}{R'} \\ \sqrt{\frac{I^s}{2}} \\ i_f^r \\ i_b^r \end{array} \right| \\ \hline 0 & \left| \begin{array}{c} \\ \\ R' + L'_a(p - jn\omega_m) \\ i_f^r \\ i_b^r \end{array} \right| \\ \hline \end{array} \quad (11)'''$$

$$\begin{aligned} T_{av} &= \frac{1}{\sqrt{2}} jnL_a^{sr}(Ii_f^r - Ii_b^{r*}) \\ &= \frac{1}{\sqrt{2}} jnL_a^{sr} I^s(i_f^r - i_b^{r*}) \end{aligned} \quad (12)'''$$

가되며

의 matrix는

$$v_a = \frac{1}{\sqrt{2}}(I^s R^s + L_a^{sr} p i_f^r) \quad (\text{가})$$

$$v_b = \frac{1}{\sqrt{2}}(I^s R^s + L_a^{sr} p i_b^r) \quad (\text{나})$$

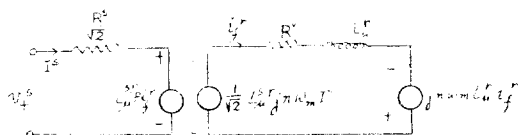
$$0 = \frac{1}{\sqrt{2}} L_a^{sr} jn\omega_m I^s + (R' + L_a'(p - jn\omega_m)) i_f^r \quad (\text{다})$$

$$0 = \frac{1}{\sqrt{2}} L_a^{sr} jn\omega_m I^s + R' + L_a'(p + jn\omega_m) i_b^r \quad (\text{라})$$

(가)와 (나), (다)와 (라)式은 서로 공액이므로 (가)와 (다)에 의해 서로 같다.

(다)式을  $i_f^r$ 에 풀하여 보면

$$i_f^r = \frac{L_a^{sr} jn\omega_m I^s}{\sqrt{2}(R' + jn\omega_m L_a')} \left\{ 1 - \epsilon^{-j(\frac{R'}{L_a'} + jn\omega_m)t} \right\}$$



$$\therefore i_b^r = \frac{-L_a^{sr} jn\omega_m I^s}{\sqrt{2}(R' + jn\omega_m L_a')} \left\{ 1 - \epsilon^{-j(\frac{R'}{L_a'} + jn\omega_m)t} \right\}$$

위 전압-전류方程式의 等價回路는  
물론式(12)'''式은

$$T_{av} = \frac{jnL_a^{sr}}{\sqrt{2}} I^s (i_f^r - i_b^{r*})$$

$$= \frac{n^2 \omega_m L_a^{sr} I^{s2}}{(R')^2 + (n\omega_m L_a')^2} (1 - \epsilon^{-j(\frac{R'}{L_a'} + jn\omega_m t)})$$

$$= \frac{n^3 \omega_m^2 L_a' L_a^{sr} I^{s2}}{(R')^2 + (n\omega_m L_a')^2} \epsilon^{-j(\frac{R'}{L_a'} + jn\omega_m t)} \sin n\omega_m t$$

下의 풀고  $(T_{av})_{average}$ 는

$$(T_{av})_{average} = \frac{-n^2 \omega_m L_a^{sr} I^{s2}}{(R')^2 + (n\omega_m L_a')^2}$$

回轉子에 소비되는 功率量  $P_{average}$

$$P_{average} = i_f^{r2} R' + average = \frac{(n\omega_m L_a^{sr} I^s)^2}{2[(R')^2 + (n\omega_m L_a')^2]} R'$$

$$\text{最大半周} \text{를 } d(T_{av})_{average} / d\omega_m = 0$$

을 찾을 때  $\omega_m = \frac{R'}{nL_a'}$  일 때 最大トル크가 생김을 알 수 있으므로

$$(T_{av})_{average, max} = \frac{nL_a^{sr} I^{s2}}{2R' L_a'}$$

實驗으로 求한(附錄 B 參照) 아래와 같은 2相籠型誘導電動機의 定數量  $(T_{av})_{average}$ 式에 代入한 후  $\omega_m$ 을 變하는一定値  $15 \times 2\pi$ 부터 0의 值까지 變化시켜 圖示하면 그림 1과 같다.

$$n=4, L_a^{sr}=44.5 \times 10^{-3} \text{ [henry]}, I=10 A,$$

$$R'=3.3 \Omega$$

$$L_a' = 51.8 \times 10^{-3} \text{ [henry]}$$

$$\omega_m = 2\pi n_3$$

$\omega_m$ (rad/sec)	$2\pi \times 15$	$2\pi \times 14$	$2\pi \times 13$	$2\pi \times 12$	$2\pi \times 11$	$2\pi \times 10$	$2\pi \times 9$	$2\pi \times 8$	$2\pi \times 7$
$(T_{av})_{average}$	0.973	0.85	0.913	0.98	1.01	1.156	1.271	1.41	1.57
$\omega_m$ (rad/sec)	$2\pi \times 6$	$2\pi \times 5$	$2\pi \times 4$	$2\pi \times 3$	$2\pi \times 2.56$	$2\pi \times 2$	$2\pi \times 1.5$	$2\pi$	$2\pi \times 0.5$
$(T_{av})_{average}$	1.76	1.96	2.19	2.39	2.42	2.31	2.12	1.65	0.915

### 3. Analog 電子計算機에 依한 D-C braking 解析

直流制動條件는 均等空隙 (smooth air gap) 인理由로  $L_{a2}' = L_{b2}' = L_{a2}^{sr} = 0$ , 및  $v_a^s = 0, v_b^s = 0$  인 請件을 附錄 A(7)', (8)'式에 代入하면

$$\begin{array}{l} v_a^s \\ v_b^s \\ 0 \\ 0 \end{array} = \begin{bmatrix} R^s + pL_a' & 0 & pL_a' & 0 \\ 0 & R' + pL_a^{sr} & 0 & pL_a^{sr} \\ -pL_a' & n\phi L_a^{sr} & R' + pL_a' & n\phi L_a' \\ -n\phi L_a^{sr} & pL_a^{sr} & -n\phi L_a' & R' + pL_a' \end{bmatrix} \begin{bmatrix} i_a^s \\ i_b^s \\ i_d \\ i_q \end{bmatrix} \quad (7)'''$$

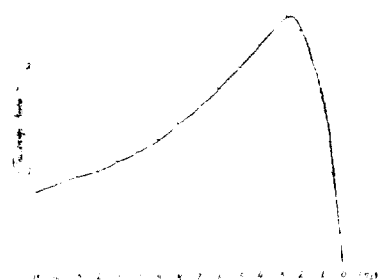


그림 1

$$T = j\phi + \alpha\phi - nL_{sr}^2(i_s i_d' - i_s' i_q') \quad (8)''$$

로 되고係數를 간단화하기 위하여 电压, 電流에 대하여  
變換

$$\begin{bmatrix} x_a \\ x_b \\ x_d \\ x_q \end{bmatrix} = \begin{bmatrix} [u] & 0 & x_a \\ R' & L_{sr}' & x_b \\ 0 & L_{sr}' & 0 \\ 0 & 0 & R' \\ 0 & 0 & L_{sr}' \end{bmatrix} \begin{bmatrix} x_a \\ x_b \\ x_d \\ x_q \end{bmatrix}$$

을 (7)'' 式에 代入하면

$$\begin{aligned} v_a' &= \begin{bmatrix} 1 & 0 \\ 0 & 1 \end{bmatrix} \begin{bmatrix} 0 & R^s + pL_n^s \\ R^r & 0 \end{bmatrix} \begin{bmatrix} 0 & R^s + pL_n^s \\ 0 & R^s + pL_n^s \end{bmatrix} \begin{bmatrix} i_a \\ i_b \end{bmatrix} \\ v_b' &= \begin{bmatrix} 0 & 1 \\ 1 & 0 \end{bmatrix} \begin{bmatrix} 0 & R^s + pL_n^s \\ R^r & 0 \end{bmatrix} \begin{bmatrix} 0 & R^s + pL_n^s \\ pL_n^s & n\phi L_n^s \end{bmatrix} \begin{bmatrix} i_a \\ i_b \end{bmatrix} \\ 0 &= \begin{bmatrix} 0 & R^r \\ 0 & R^r \end{bmatrix} \begin{bmatrix} 0 & R^s + pL_n^s \\ R^r & 0 \end{bmatrix} \begin{bmatrix} 0 & R^s + pL_n^s \\ n\phi L_n^s & R^r + pL_n^s \end{bmatrix} \begin{bmatrix} i_a \\ i_b \end{bmatrix} \\ 0 &= \begin{bmatrix} R^s + pL_n^s & 0 \\ 0 & R^s + pL_n^s \end{bmatrix} \begin{bmatrix} 0 & R^s + pL_n^s \\ R^r & 0 \end{bmatrix} \begin{bmatrix} 0 & R^s + pL_n^s \\ R^r + pL_n^s & 0 \end{bmatrix} \begin{bmatrix} i_a \\ i_b \end{bmatrix} \\ &= \begin{bmatrix} R^s + pL_n^s & 0 & \frac{pL_n^{s2}}{R^r} & 0 \\ 0 & R^s + pL_n^s & 0 & \frac{pL_n^{s2}}{R^r} \\ pR^r & n\phi R^r & R^r + pL_n^s & n\phi L_n^s \\ -n\phi R^r & pR^r & -n\phi L_n^s & R^r + pL_n^s \end{bmatrix} \begin{bmatrix} i_a \\ i_b \\ i_d' \\ i_q' \end{bmatrix} \end{aligned}$$

回轉子回路을  $R^r$ 로除하고 添字'를 없애면

$$\begin{bmatrix} v_a' \\ v_b' \\ 0 \\ 0 \end{bmatrix} = \begin{bmatrix} R^s + pL^s & 0 & \frac{pL^{s2}}{R^r} & 0 \\ 0 & R^s + pL^s & 0 & \frac{pL^{s2}}{R^r} \\ p & n\phi & 1 + p \frac{L^s}{R^r} & n\phi \frac{L^s}{R^r} \\ -n\phi & p & -n\phi \frac{L^s}{R^r} & 1 + p \frac{L^s}{R^r} \end{bmatrix} \begin{bmatrix} i_r \\ i_p \\ i_d' \\ i_q' \end{bmatrix} \quad (7)'''$$

돌크(8)''式은

$$T = J\ddot{\phi} + \alpha\dot{\phi} - n \frac{L^{sr2}}{R^r} (i_s i_d' - i_s' i_q') \quad (8)'''$$

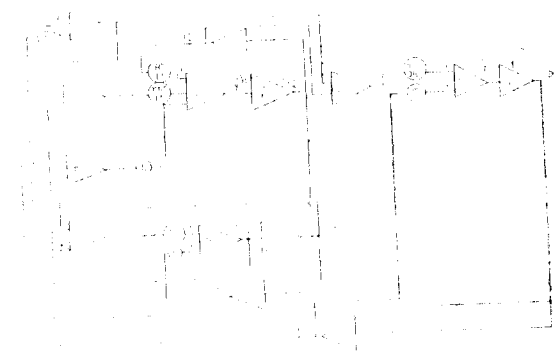
되고 直流制動條件을 (7)''', (8)'''式에 代入하면 即 固定子  $\alpha$  相에一定直流  $I^s$ 를 흘리고  $\beta$  相은開放하면 各各

$$\begin{bmatrix} v_a' \\ v_b' \\ 0 \\ 0 \end{bmatrix} = \begin{bmatrix} R^s + pL^s & 0 & \frac{pL^{s2}}{R^r} & 0 \\ 0 & R^s + pL^s & 0 & \frac{pL^{s2}}{R^r} \\ -p & n\phi & 1 + p \frac{L^s}{R^r} & n\phi \frac{L^s}{R^r} \\ -n\phi & p & -n\phi \frac{L^s}{R^r} & 1 + p \frac{L^s}{R^r} \end{bmatrix} \begin{bmatrix} J^s \\ 0 \\ i_d' \\ i_q' \end{bmatrix} \quad (7)'''$$

$$T = J\ddot{\phi} + \alpha\dot{\phi} + n \frac{L^{sr2}}{R^r} (I^s i_q') \quad (8)'''$$

이 5個의 方程式을 analog 計算器로 씰무레이트하면 아

래와 같다.



實驗한 電動機에서 일은 電數(附錄B 參照)를 代入하고 和項을 없애면

$$\begin{aligned} i_d' &= \int \left( \frac{R'}{L'} i_d' + n\phi i_q' \right) dt = \int (63.7 i_d' + 4\phi i_q') dt \\ i_q' &= \int \left( \frac{R'}{L'} i_q' + \frac{n\phi I^s}{L'} - R^r - n\phi i_d' \right) dt = - \int (63.7 i_q' + 254.8 I^s \phi - 4\phi i_d') dt \end{aligned}$$

$$\dot{\phi} = \int \left( \frac{\alpha}{J} \phi + \frac{nL^{sr2}}{JR^r} I^s i_q' \right) dt = \int (0.214 \dot{\phi} - 0.0482 I^s i_q') dt$$

이 되고  $i_d'$ ,  $i_q'$ 의 初期條件는 零,  $\dot{\phi}$ 의 初期值 90.43 rad/sec.  $I^s$ 는 常數이므로 magnitude scaling 을 하지 않고 analog 電子計算機 씰무레이트하면 아래와 같다.



위와 같이 씰무레이트하여  $\dot{\phi}_0 = \omega_0$  를 變化시키면서 톱크 모양을 考察해보면 그림(2)과 같으며, 이때의  $\omega$ 를 橫軸으로 톱크를 縦軸으로 했을 때 그림 3 과 같다. 이것으로 볼 때 最大 톱크는 制動電流가 變하지 않는限 初期速度  $\omega_0$ 에는 關係없이 一定하며 톱크-速度曲線은 誘導電動機의 그것과 差이하며 前節에서 計算으로 일은 曲線과 定性的으로 一致한다.

電氣的인 過渡 톱크를 考察하기 위하여 time scaling 으로서 100倍한 후 回轉數變化, 回轉子抵抗值變化 直流

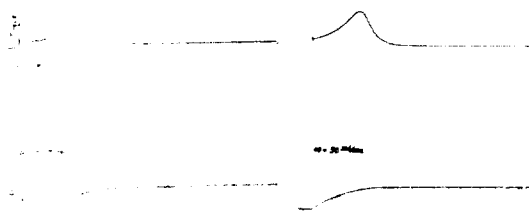


그림-2

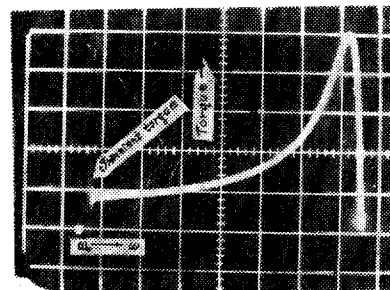


그림-3

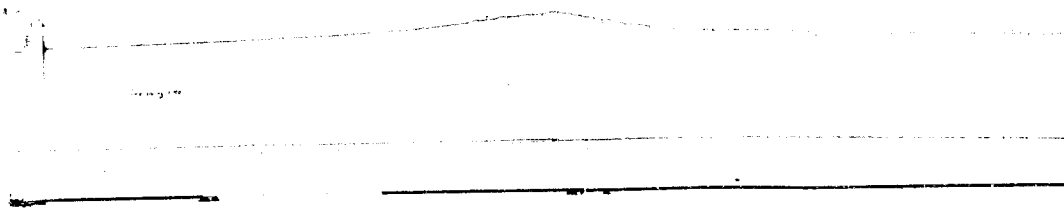


그림-4

制動電流值의 變化에 따른 過渡トル크의 影響을 考察해 보면

그림(2)의 첫 경우를 100倍한 것이 그림(4)와 같고  
그림(4)의 過渡分을 橫軸 sweep時間을 빠로개한것  
이 그림(5)가 된다.

(1) 電氣的過渡トルク와 初期速度와의 關係

直流制動時 初速度를  $\phi_0 = 90.4 \text{ rad/sec}$ ,  $60, 40 \text{ rad/sec}$ 로 할때 토크曲線  $i_g''$ 와  $T_g$ 曲線의 變化는 그림(6)과 같다.

(2) 回轉子抵抗值 變化時 電氣的過渡トル크 와의 關係  
回轉子抵抗值을 이電動機의 1.5倍, 1倍, 0.5倍로 變化시켰을때 電氣的過渡トル크의 變化는 그림(7)과 같다.

Transient torque time scaling 100<sup>st</sup>

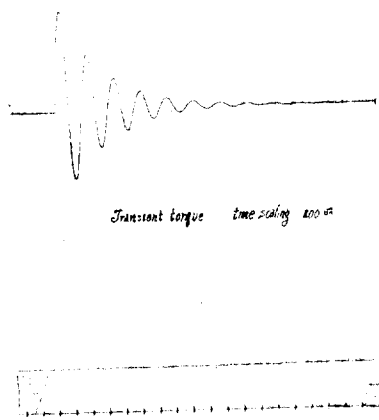


그림-5

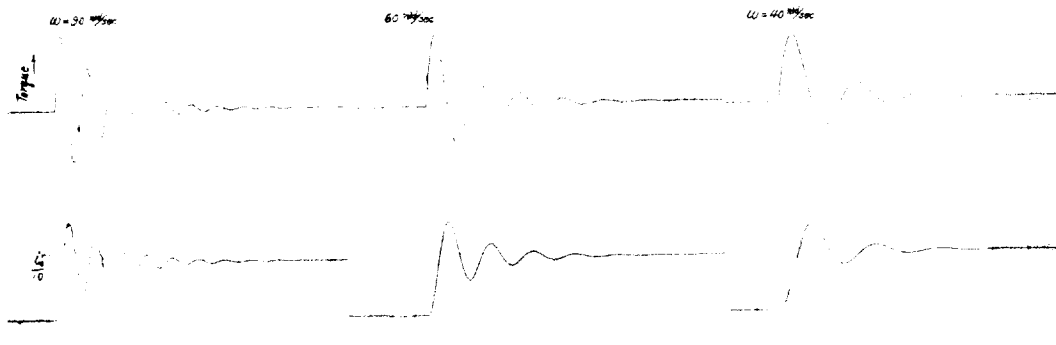


그림-6

(3) Braking電流  $I_b$ 의 變化와 要停止時間과의 關係

braking電流  $I_b$ 를 1 ampere, 10 ampere로 할때 速度

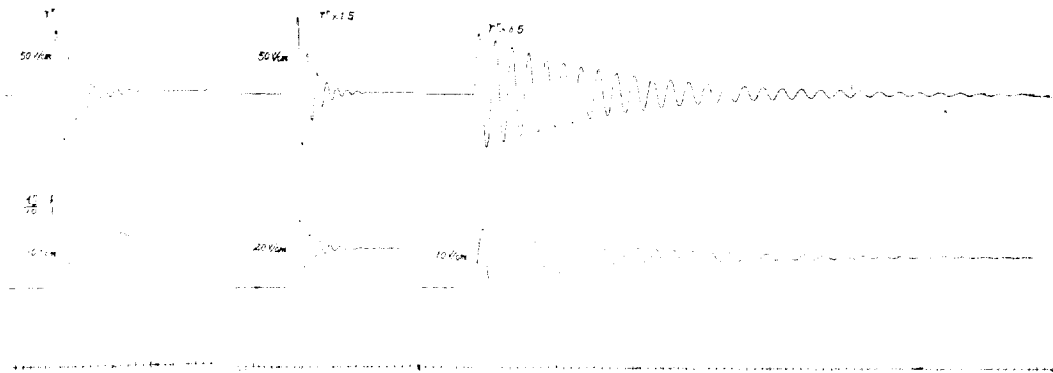


그림 7

가 初期値로부터 時으로 되기까지 걸리는 時間의 比較는 그림 8 과 같고 實際 triclad induction motor (Model 5K213 AG 1000)에 對한 그것은 그림 9 와 같다.

(위 (1),(2),(3)의 計算機에 依해 記錄된 各曲線의 強軸 即 時間軸은 1秒를 表示한다.)



그림-3

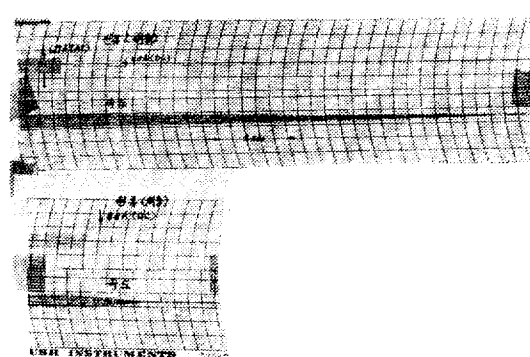


그림-9

#### (나) Small signal 理論에 依한 analog 電子計算機씨뮤레이션

Small signal 理論에 依하여 어떤 平衡點 주위의 動特性을 計算機에 씨뮤레이트하여 解석하기 위하여 이點주위의 微小變化를

$$v_a^s = V_{a0} + v_{ac}^s$$

$$i_d^r = I_{d0} + i_d^r$$

$$i_q^r = I_{q0} + i_q^r$$

$$T = T_0 + T_1$$

$$\dot{\phi} = \Omega + \dot{\phi}_1 \quad \text{라면}$$

(7)',(8)'式들은 smooth air gap,  $v_a^r = v^r = 0$  및 調動 條件을 代入할때

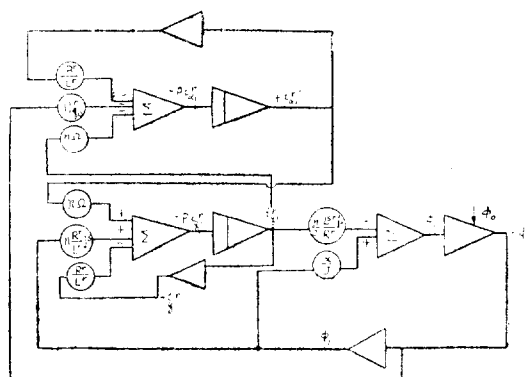
$$v_{a1}^s = -\frac{L^{sr2}}{R^r} \dot{b} i_{d1}^r$$

$$0 = i_{d1}^r + \frac{L^r}{R^r} \dot{b} i_{d1}^r + n\phi_1 \frac{L^r}{R^r} I_{q0}^r + n\Omega \frac{L^r}{R^r} i_{q1}^r$$

$$0 = -n\phi_1 I^r - n\phi_1 \frac{L^r}{R^r} I_{d0}^r - n\Omega \frac{L^r}{R^r} i_{q1}^r - i_{q1}^r + \frac{L^r}{R^r} \dot{b} i_{q1}^r$$

$$T_1 = J_{d1} + \alpha\phi_1 + n \cdot \frac{L^{sr2}}{R^r} I^r i_{a1}^s$$

가 되는데 外部에서 加하는 볼트가 없으므로  $T_1 = 0$  初期條件이 모두 0이고 단  $\phi_0$ 만이 存在하고  $\Omega$ ,  $I_{d0}'$ ,  $I^r$ 는 常數임을 考慮하면 analog 計算機씨뮤레이션은 다음과 같다.



## B. 프라깅(Plugging)

### 1. 概 説

그림(10)의  $x_1, y_1$ 으로 이루어지는 2相回轉磁界로 正方向으로 回轉시키다가 relay 를 利用하여  $x_2, y_2$ 로 이루는 回轉磁界를 載은 時間內에 加하여 逆方向으로 톤크가 作用되게 하여 制動시킨다. 이런 프라깅 현상을 附 A (11)'', (12)'' 式에 電動機의 條件과 이 현상의 條件를 代入하여 數式으로 풀었고, analog 電子計算機에의 셰뮬레이션은 方法만을 直流制動에 準하여 풀고 다음에 本論文에서 取扱한 電動機의 實際 프라깅時 電流 電壓 速度曲線을 brush recorder 로 기록하였다.

### 2. --, fb 變換式에 依한 프라깅해석

本文에서 取扱한 電動機는 3極 2相 管型誘導電動機이며 電源은 3相電源中 2相을 各 相에 印加하였다. 均一空隙 및 附錄 B 의 定數에 依하면 機械的인 加速은 電氣的인 過渡에 比하여 大端히 느리기 때문에 大略의 動特性은 여러 다른 一定速度에 對한 定常狀態의 sequence로 計算할 수 있기 때문에 프라깅된 순서에 角速度를 一定하다고 보아 이를 모든 條件을 附錄 A(11)', (12)'' 式에 代入한다.

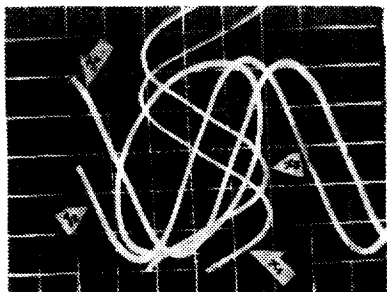


그림-10

에 代入한다.

첫째로 電壓式

$$v^s = \frac{1}{2}(V^s e^{j\omega t}) + \frac{1}{2}(V^s_- e^{-j\omega t})$$

$$v^s_- = \frac{1}{2}(V^s e^{-j\omega t}) + \frac{1}{2}(V^s_- e^{j\omega t})$$

$$\text{여기서 } V^s = \frac{1}{\sqrt{2}}(V_\alpha + jV_\beta) = \frac{1}{\sqrt{2}}V_\alpha^s (e^{j\frac{\pi}{6}})$$

$$V^s_- = \frac{1}{\sqrt{2}}(V_\alpha^s - jV_\beta^s) = \frac{1}{\sqrt{2}}V_\alpha^s (1 - e^{-j\frac{\pi}{6}})$$

를 代入하여 正常狀態下의 重疊의 原理에  $v^s_+ = v^s_*$ ,  $i^s_+ = i^s_*$ ,  $v^s_f = v^s_b$ ,  $i^s_f = i^s_b$ 의 條件과  $s = \frac{\omega - n\omega_m}{\omega}$  을 利用하여 (11)''(12)'' 式을 풀면  
電流式들은

$$I^s_+ = \frac{\frac{1}{2} \left( \frac{Rr}{s} + j\omega L_\mu^r \right) \left\{ V_\alpha^s (1 + e^{j\frac{\pi}{6}}) \right\}}{\left( \frac{Rr}{s} + j\omega L_\mu^r \right) (R^s + j\omega L_\mu^s) + (\omega L_\mu^{s,r})^2}$$

$$I^s_f = \frac{-j\omega L_\mu^{s,r} (V_\alpha^s) (1 + e^{j\frac{\pi}{6}}) \frac{1}{\sqrt{2}}}{\left( \frac{Rr}{s} + j\omega L_\mu^r \right) (R^s + j\omega L_\mu^s) + (\omega L_\mu^{s,r})^2}$$

$$I^-_s = \frac{\left( \frac{Rr}{2-s} + j\omega L_\mu^r \right) \frac{1}{\sqrt{2}} (V_\alpha^s) (1 - e^{j\frac{\pi}{6}})}{\left( \frac{Rr}{2-s} + j\omega L_\mu^r \right) (R^s + j\omega L_\mu^s) + (\omega L_\mu^{s,r})^2}$$

$$I^s_f = \frac{-j\omega L_\mu^{s,r} \frac{1}{\sqrt{2}} (V_\alpha^s) (1 - e^{j\frac{\pi}{6}})}{\left( \frac{Rr}{2-s} + j\omega L_\mu^r \right) (R^s + j\omega L_\mu^s) + (\omega L_\mu^{s,r})^2}$$

$$T_{eu} = \frac{jnL_\mu^{s,r}}{4} [(I^s_+ I^s_f - I^s_+ I^s_f') + (I^s_- I^s_b - I^s_- I^s_b') + (I^s_- I^s_b - I^s_- I^s_b') e^{j2\omega t} + (I^s_+ I^s_b - I^s_+ I^s_b') e^{-j2\omega t}]$$

平均トルク ( $T_{eu}$ )<sub>average</sub>

$(T_{eu})_{average}$

$$= \frac{\frac{1}{2} n\omega L_\mu^{s,r} \frac{Rr}{s} - \frac{1}{2} \left| 1 + e^{j\frac{\pi}{6}} \right|^2 V_\alpha^s}{\left[ \frac{Rr R^s}{s} - \omega^2 (L_\mu^r L_\mu^s - L_\mu^{s,r}) \right]^2 + \omega^2 (L_\mu^r R^s + L_\mu^s \frac{Rr}{s})^2}$$

$$= \frac{\frac{1}{2} n\omega L_\mu^{s,r} \frac{Rr}{2-s} - \frac{1}{2} \left| 1 - e^{j\frac{\pi}{6}} \right|^2 V_\alpha^s}{\left[ \frac{Rr R^s}{2-s} - \omega^2 (L_\mu^r L_\mu^s - L_\mu^{s,r}) \right]^2 + \omega^2 (L_\mu^r R^s + L_\mu^s \frac{Rr}{2-s})^2}$$

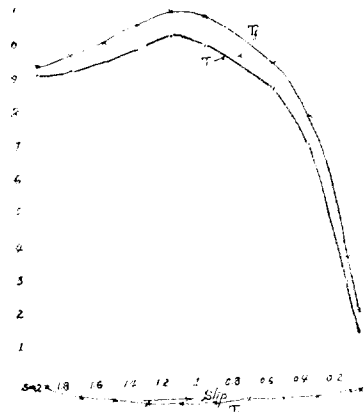


그림-11

프라깅中 톤크를 알기 위해서는 위( $T_{av}^{(1)}$ )式中의  $s$ 를 1.95부터 0 까지 變化시키면서 그值의 變化를 보면 될것이다.

本論文에서 取扱한 電動機의 定數를 代入하고  $s$ 의 値를 變化시킬때 그림(11)과 같다.

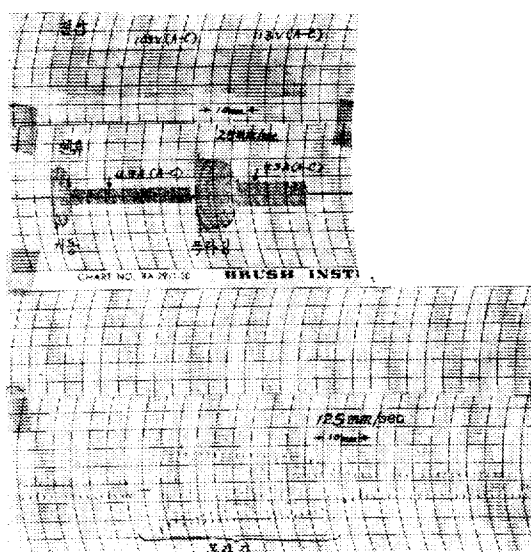


그림-12

### 3. 프라깅의 Analog 計算機 씨뮤레이숀

(7)''式 (8)''式을 直流制動時와 마찬가지로 計算機에 씨뮤레이트 하고  $\phi$ 의 初期値만을  $-1.0$ 로 놓고 해석하면 될것이다. 本文에서는 計算機의 理由로해서 실제 analog

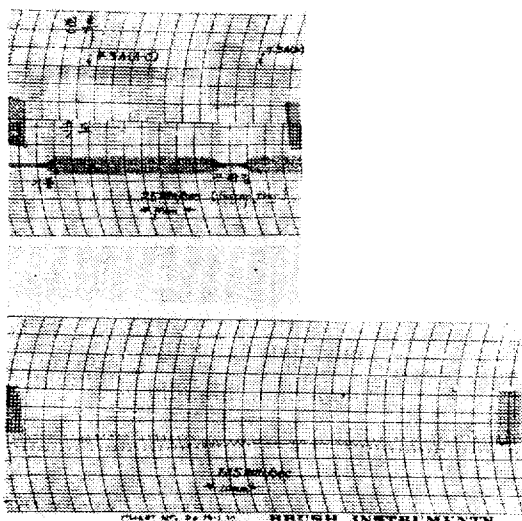


그림-13

計算機에 依한 해석은 略하고 實驗과 數的計算만을 行하였다음.

### 4. 프라깅의 實驗

2相 8極으로捲線한 篠型誘導電動機를 概說에 說明한 바와 같이 relay를 써서 1/25秒 内에 行할때 電流電壓特性, 電流一速度特性은 그림(12), (13)과 같다.

## 結論

直流制動時 速度-�톤크曲線은 마치 誘導電動機의 그 것과 類似하여 停止에 가까운 근방에서 最大�톤크를 나타내며 本文에서 취급된 機械의 電氣的인 時定數와 機械의 時定數는 1/300程度의 比가 되어 이機械의 電氣的 過渡特性은 機械의 一定速度에서 일어 난다고 보고 해석하여도 別差가 없다. 이것은 速度 一定이라 假定하여 計算된 速度-�톤크曲線을 圖示한것과(그림1) analog 電子計算機로부터 얻은 그것과一致함에서 알수있는 일이다.

그러나 正確한 動特性을 必要로 하게 되거나 機械의 時定數와 電氣의 時定數와 비슷한 경우에는 速度 一定으로 볼수 없게 되므로 計算機를 써야 한다.

Braking하는 톤크의 最大値는  $\phi$ 의 初期値에 關係없고 制動直流의 自乘에 比例하고 電氣的 過渡�크는 0.15秒內에 감쇠진동하는데 그 振動하는 周波數은 初速度에 따라 變化하고 回轉子抵抗이 增加함에 따라 最大値가 커가며 過度期間이 짧아지고 反對로 감소함에 따라 最大値는 감소하고 振動期間이 길어진다.

直流制動電流와 要停止時間과의 關係는 서로 逆比例하여 直流가 大을 수록 빨리 停止한다.

프라깅은 實驗과 計算値 만에 依하여 結論하면 프라깅 동안 流入되는 電流는 그 크기가 起動電流와 비슷하여 이期間中 많은 電流가 흐르기 때문에 電源電壓이 약간 變化하여 relay端子, 接觸部分의 電壓降下 等으로 電動機捲線에 걸린 電壓은 線間電壓보다 약간 낮은 電壓이 걸리고 이때문에 電流도 좀 감소한다. 프라깅으로 停止하기까지의 時間은 直流制動時 定格値의 1.5倍 直流를 쓸 경우의 停止時間과 비슷한다.

## 附錄 A 基礎理論

本論文의 理論은 1959 年度版 M.I.T.의 David. C. White, Herbert H. Woodson 共著 Electromechanical Energy Conversion에서 取扱된 解석방법을 썼으므로 本論文에 使用된 數式와 記號에 關하여 간단히 說明한다.

附A.1 一般化된 機械의 운동方程式은 이 系統의 狀

態定數(state function)인 Lagrangian 或 Hamilton 原則<sup>\*4</sup>을 非保存系統까지 擴張하여 誘導된 Euler-Lagrange 方程式<sup>\*5</sup>

$$-\frac{d}{dt}\left(\frac{\partial L}{\partial \dot{q}_k}\right) - \frac{\partial L}{\partial q_k} + \frac{\partial F}{\partial \dot{q}_k} = Q_k \quad (1)$$

但,  $L(\phi, i_a^s, i_b^s, i_a^r, i_b^r, \dot{\phi})$

$$= \frac{1}{2} i_{ab,ab}^{s,r} R_{ab,ab}^{s,r} i_{ab,ab}^{s,r} + \frac{1}{2} J\dot{\phi}^2 - \frac{1}{2} K\phi^2$$

에 適用하여 求해진다. 電壓, 電流 및 톱크方程式은 (1) 式에서 matrix로 表示하면

$$\begin{aligned} V_{ab,ab}^{s,r} &= R_{bb,ab}^{s,b} i_{ab,ab}^{s,r} + p(L_{ab,ab}^{s,r} i_{ab,ab}^{s,r}) \\ T &= \alpha\dot{\phi} + J\dot{\phi} + K\phi - \frac{1}{2} i_{ab,ab}^{s,r} \frac{\partial L_{ab,ab}^{s,r}}{\partial \dot{\phi}} i_{ab,ab}^{s,r} \end{aligned} \quad (2)$$

即 電氣的으로는

$$\begin{aligned} V_{ab,ab}^{s,r} &= R_{ab,ab}^{s,r} i_{ab,ab}^{s,r} + p(L_{ab,ab}^{s,r} i_{ab,ab}^{s,r}) \\ &= R_{ab,ab}^{s,r} i_{ab,ab}^{s,r} + L_{ab,ab}^{s,r} p i_{ab,ab}^{s,s} + \frac{\partial L_{ab,ab}^{s,r}}{\partial \dot{\phi}} \dot{i}_{ab,ab}^{s,r} \end{aligned} \quad (3)$$

機械的으로는

$$T = \alpha\dot{\phi} + J\dot{\phi} + K\phi - \frac{1}{2} i_{ab,ab}^{s,r} \frac{\partial L_{ab,ab}^{s,r}}{\partial \dot{\phi}} i_{ab,ab}^{s,r} \quad (4)$$

여기서  $L$ : Lagrangian. (state function)

$q_i$ : 系統 coordinate

$q_i$ : 系統 velocity

$\phi$ : 機械角

$k$ : 스프링의 stiffness

		添字
$v_a^s$		s: 固定子
$v_b^s$		r: 回轉子
$v_a^r$	Non conservative force	a: a 相
$v_b^r$		b: b 相을 表示한다
$T$		

$$p = \frac{d}{dt}$$

$$\begin{aligned} F &= \sum_{i=1}^N \frac{1}{2} r_i(q_i)^2 \text{ Rayleigh dissipation 函數} \\ &= \frac{1}{2} R^s(i_a^s)^2 + \frac{1}{2} R^s(i_b^s)^2 + \frac{1}{2} R^r(i_a^r)^2 + \frac{1}{2} R^r(i_b^r)^2 + \frac{1}{2} \alpha(\dot{\phi})^2 \end{aligned}$$

R: 저항

$\alpha$ : 마찰계수

$$= \frac{1}{2} i_{ab,ab}^{s,r} R_{ab,ab}^{s,r} i_{ab,ab}^{s,r} + \frac{1}{2} \phi \alpha \dot{\phi}$$

$$v_{ab,ab}^{s,r} = \begin{vmatrix} v_a^s \\ v_b^s \\ v_a^r \\ v_b^r \end{vmatrix} \quad i_{ab,ab}^{s,r} = \begin{vmatrix} i_a^s \\ i_b^s \\ i_a^r \\ i_b^r \end{vmatrix}$$

$$R_{ab,ab}^{s,r} = \begin{pmatrix} R^s & 0 & 0 & 0 \\ 0 & R^s & 0 & 0 \\ 0 & 0 & R^r & 0 \\ 0 & 0 & 0 & R^r \end{pmatrix}, \lambda_{ab,ab}^{s,r} = \begin{pmatrix} \lambda_a^s \\ \lambda_b^s \\ \lambda_a^r \\ \lambda_b^r \end{pmatrix} = L_{ab,ab}^{s,r} i_{ab,ab}^{s,r}$$

$$L_{ab,ab}^{s,r} = \begin{pmatrix} L_{aa}^{ss} & L_{ab}^{ss} & L_{aa}^{sr} & L_{ab}^{sr} \\ L_{ba}^{ss} & L_{bb}^{ss} & L_{ba}^{sr} & L_{bb}^{sr} \\ L_{aa}^{ra} & L_{ab}^{ra} & L_{aa}^{rr} & L_{ab}^{rr} \\ L_{ba}^{rs} & L_{bb}^{rs} & L_{ba}^{rr} & L_{bb}^{rr} \end{pmatrix} = \begin{pmatrix} L_\mu^s + L_\mu^r & 0 & L_\mu^s - L_\mu^r & 0 \\ 0 & L_\mu^s - L_\mu^r & 0 & (L_\mu^s - L_\mu^r)\sin n\phi \\ (L_\mu^s + L_\mu^r)\cos n\phi & (L_\mu^s + L_\mu^r)\sin n\phi & (L_\mu^s - L_\mu^r)\cos n\phi & (L_\mu^s - L_\mu^r)\sin n\phi \\ -(L_\mu^s + L_\mu^r)\sin n\phi & -(L_\mu^s + L_\mu^r)\cos n\phi & (L_\mu^s - L_\mu^r)\cos n\phi & (L_\mu^s - L_\mu^r)\sin n\phi \\ L_\mu^s + L_\mu^r \cos n\phi & -L_\mu^s \sin 2n\phi & -L_\mu^r \sin 2n\phi & L_\mu^s - L_\mu^r \cos 2n\phi \\ -L_\mu^r \sin 2n\phi & L_\mu^s - L_\mu^r \cos 2n\phi & 0 & 0 \end{pmatrix}$$

n: 磁極對數

위 式은 다음과 같은 方法으로 얻어졌다.

一般化된 電氣機械에 저축된 에너지로서 確束密度  $\mathbf{B}$ ,

磁場의 세기  $\mathbf{H}$ 를 써서  $W_m = \int \frac{1}{2} \mathbf{HB} dv$  를 計算하고,

回路變數로서 計算하여 얻은 에너지  $W_m = \frac{1}{2} \sum_{i,j} L_{ij} i_{ij} i_j$  를  
같게 놓았을때 係數  $L_{ab,ab}^{s,r}$ <sup>\*6</sup>가 決定된다. 이式中  $L_{ab,ab}^{s,r}$ ,  
 $L_{ab}^{s,r}$ ,  $L_{ab}^{r,s}$  等은 非凸極型機일때는 等이된다

#### 附 A.2 $\alpha\beta, dq$ 變換

數式을 간단화 하고 unbalanced machine의 動特性  
을 해석하기 위해서  $\alpha\beta, dq$  變換을 한다. 이는 回轉子만  
에 變換  $[A_{\alpha\beta,q}] = \begin{bmatrix} \cos n\phi & \sin n\phi \\ -\sin n\phi & \cos n\phi \end{bmatrix}$  을 행하게 된다. [그  
러면 (3), (4)式은 各各

$$v_{ab,ab}^{s,r} = (A_{\alpha\beta,dq}^{s,r} (R_{ab,ab}^{s,r} + p L_{ab,ab}^{s,r}) A_{\alpha\beta,dq}^{s,r}) i_{ab,ab}^{s,r} \quad (5)$$

$$\begin{aligned} T &= J\dot{\phi} + \alpha\dot{\phi} + k\phi - \frac{1}{2} i_{ab,ab}^{s,r} (A_{\alpha\beta,dq}^{s,r} - \frac{\partial L_{ab,ab}^{s,r}}{\partial \dot{\phi}} A_{\alpha\beta,dq}^{s,r}) \\ &\quad \times i_{ab,ab}^{s,r} \end{aligned} \quad (6)$$

$$\text{여기서 } A_{\alpha\beta,dq}^{s,r} = \begin{bmatrix} (u) & 0 \\ 0 & [a'_{dq}] \end{bmatrix}, \quad [u] = \begin{bmatrix} 1 & 0 \\ 0 & 1 \end{bmatrix}$$

( $\alpha\beta, \alpha\beta$  變換은 balanced 2 phase machine 으로의 變換 이므로 略함)

다음에  $A_{\alpha\beta,dq}^{s,r}$  는  $\phi$ 의 函數이므로 (5), (6)式은

$$v_{\alpha\beta,dq} = (R_{\alpha\beta,dq}^{s,r} + L_{\alpha\beta,dq}^{s,r} p + g_{\alpha\beta,dq} \dot{\phi}) i_{\alpha\beta,dq}^{s,r} \quad (7)$$

$$T = J\dot{\phi} + \alpha\dot{\phi} + k\dot{\phi} - \frac{1}{2} i_{\alpha\beta, dq}^{s,r} L_{\alpha\beta, dq}^{s,r} i_{\alpha\beta, dq}^{s,r} \quad (8)$$

여기서

$$R_{\alpha\beta, dq}^{s,r} = A_{\alpha\beta, dq}^{s,r-1} R_{\alpha\beta, \alpha\beta}^{s,r} A_{\alpha\beta, dq}^{s,r}$$

$$L_{\alpha\beta, dq}^{s,r} = A_{\alpha\beta, dq}^{s,r-1} L_{\alpha\beta, \alpha\beta}^{s,r} A_{\alpha\beta, dq}^{s,r}$$

$$T_{\alpha\beta, dq}^{s,r} = A_{\alpha\beta, dq}^{s,r} \frac{\partial L_{\alpha\beta, \alpha\beta}^{s,r}}{\partial \phi} A_{\alpha\beta, dq}^{s,r}$$

$$g_{\alpha\beta, dq}^{s,r} = T_{\alpha\beta, dq}^{s,r} + A_{\alpha\beta, dq}^{s,r-1} L_{\alpha\beta, dq}^{s,r} \frac{\partial A_{\alpha\beta, dq}^{s,r}}{\partial \phi}$$

(7), (8)式은 matrix 을 表示하면

$$\begin{bmatrix} v_\alpha^s \\ v_\beta^s \\ v_\alpha^r \\ v_\beta^r \\ p(L_\mu^{sr} + L_{\mu 2}^{sr}) \\ 0 \\ R^r + p(L_\mu^{sr} + L_{\mu 2}^{sr}) \\ -n\phi(L_\mu^{sr} + L_{\mu 2}^{sr}) \end{bmatrix} = \begin{bmatrix} R^s + p(L_\mu^{sr} + L_{\mu 2}^{sr}) & 0 \\ 0 & R^s + p(L_\mu^{sr} - L_{\mu 2}^{sr}) \\ p(L_\mu^{sr} + L_{\mu 2}^{sr}) & n\phi(L_\mu^{sr} - L_{\mu 2}^{sr}) \\ -n\phi(L_\mu^{sr} + L_{\mu 2}^{sr}) & p(L_\mu^{sr} - L_{\mu 2}^{sr}) \end{bmatrix} \begin{bmatrix} i_\alpha^s \\ i_\beta^s \\ i_\alpha^r \\ i_\beta^r \\ 0 \\ p(L_\mu^{sr} - L_{\mu 2}^{sr}) \\ n\phi(L_\mu^{sr} - L_{\mu 2}^{sr}) \\ R^r + p(L_\mu^{sr} - L_{\mu 2}^{sr}) \end{bmatrix}$$

$$T = J\ddot{\phi} + \alpha\dot{\phi} + k\dot{\phi} - nL_\mu^{sr}(i_\beta^s i_d^r - i_\alpha^s i_q^r) + nL_{\mu 2}^{sr}(i_\beta^s i_d^r + i_\alpha^s i_q^r) + nL_{\mu 2}^{sr}(2i_d^r i_q^r) \quad (8)'$$

附 A.3 +-, +- 變換

瞬時 對稱成分 變換으로서  $\alpha\beta, \alpha\beta$  變換과 맞서는 複素線型變換이며 解석상에 많은 利點이 있다. 이變換은  $\alpha\beta$  成分과 關係자우는 것으로

$$[x_{+-}] = [a_{+-}] \quad x_{+-}$$

이며  $x_{+-}$  는 回轉子나 固定子의 電壓, 電流를 表示한다. 여기

$$[a_{+-}] = \frac{1}{\sqrt{2}} \begin{bmatrix} 1 & 1 \\ -j & j \end{bmatrix}$$

運動方程式 (3), (4)式을 +-, +- 變換 할 때

$$v_{+-,+-}^{s,r} = A_{+-,+-}^{s,r-1} (R_{\alpha\beta, \alpha\beta}^{s,r} + pL_{\alpha\beta, \alpha\beta}^{s,r}) A_{+-,+-}^{s,r} i_{+-,+-}^{s,r} \quad (9)$$

$$T = J\ddot{\phi} + \alpha\dot{\phi} + K\dot{\phi} - \frac{1}{2} i_{+-,fb}^{s,r} A_{+-,fb}^{s,r} T_{+-,fb}^{s,r} \quad (10)$$

$$\text{여기서 } A_{+-,fb}^{s,r} = \begin{bmatrix} [a_{+-}] & [0] \\ [0] & [a_{+-}] \end{bmatrix}$$

(9)(10)式을 matrix 式 表示하면

$$\begin{bmatrix} v_\alpha^s \\ v_\beta^s \\ v_\alpha^r \\ v_\beta^r \\ v_\alpha^r \\ v_\beta^r \\ L_\mu^{sr} p \\ L_{\mu 2}^{sr} p \\ L_\mu^{sr} e^{-jn\phi} (p - jn\phi) \\ L_{\mu 2}^{sr} e^{jn\phi} (p + jn\phi) \end{bmatrix} = \begin{bmatrix} R^s + L_\mu^{sr} p & L_\mu^{sr} p \\ L_{\mu 2}^{sr} p & R^s + L_{\mu 2}^{sr} p \\ L_\mu^{sr} (p - jn\phi) & L_{\mu 2}^{sr} (p - jn\phi) \\ L_{\mu 2}^{sr} (p + jn\phi) & L_\mu^{sr} (p + jn\phi) \\ L_\mu^{sr} p & L_{\mu 2}^{sr} p \\ L_{\mu 2}^{sr} p & L_\mu^{sr} p \\ R^r + L_\mu^{sr} (p - jn\phi) & L_{\mu 2}^{sr} (p - jn\phi) \\ L_{\mu 2}^{sr} (p + jn\phi) & R^r + L_\mu^{sr} (p + jn\phi) \end{bmatrix} \begin{bmatrix} i_\alpha^s \\ i_\beta^s \\ i_\alpha^r \\ i_\beta^r \\ i_\alpha^r \\ i_\beta^r \\ i_{+-,fb}^{s,r} \\ i_{+-,fb}^{s,r} \\ i_{+-,fb}^{s,r} \\ i_{+-,fb}^{s,r} \end{bmatrix}$$

$$\begin{bmatrix} L_\mu^{sr} e^{jn\phi} (p + jn\phi) \\ L_{\mu 2}^{sr} e^{jn\phi} (p + jn\phi) \\ R^r + L_\mu^{sr} p \\ L_{\mu 2}^{sr} e^{jn\phi} (p + j2n\phi) \\ L_\mu^{sr} e^{jn\phi} (p + j2n\phi) \end{bmatrix} = \begin{bmatrix} L_\mu^{sr} e^{-jn\phi} (p - jn\phi) \\ L_{\mu 2}^{sr} e^{-jn\phi} (p - jn\phi) \\ L_\mu^{sr} e^{-j2n\phi} (p - j2n\phi) \\ L_{\mu 2}^{sr} e^{-j2n\phi} (p - j2n\phi) \\ L_\mu^{sr} e^{jn\phi} (p + jn\phi) \end{bmatrix} \begin{bmatrix} i_\alpha^s \\ i_\beta^s \\ i_\alpha^r \\ i_\beta^r \\ i_{+-,fb}^{s,r} \end{bmatrix}$$

$$T = J\ddot{\phi} + \alpha\dot{\phi} + K\dot{\phi} - jn \{ L_\mu^{sr} [(i_+^s i_+^r) e^{jn\phi} - (i_+^s i_+^r) e^{-jn\phi}] + L_{\mu 2}^{sr} [(i_+^s i_+^r) e^{jn\phi} - (i_+^s i_+^r) e^{jn\phi}] + L_{\mu 2}^{sr} [(i_+^r)^2 e^{j2n\phi} - (i_+^r)^2 e^{-j2n\phi}] \} \quad (10)''$$

附 A.4 +-, fb 變換

$\phi$  가 一定할때도 (9)'', (10)''式을 보면 時變係數를 갖는 微方式이 되기때문에 이 困難을 除去하기 위하여 回轉子에만 다시 fb 度換을 하여  $i_{+-}^{s,r}, \phi \cdot i$ 의 積의 非線型性 만 날게하고  $\dot{\phi}$ 의 成分을 없애어 式을 간단화 한다. 即變換

$$[x_{+-}] = [a_{fb}^r] \quad x_{fb}^r \quad \text{但 } [a_{fb}^r] = \begin{bmatrix} e^{-jn\phi} & 0 \\ 0 & e^{jn\phi} \end{bmatrix}$$

을 (9)''(10)''式에 行하면

$$v_{+-,fb}^{s,r} = A_{+-,fb}^{s,r-1} (R_{+-,fb}^{s,r} + pL_{+-,fb}^{s,r}) A_{+-,fb}^{s,r} T_{+-,fb}^{s,r} \quad (11)$$

$$T = J\ddot{\phi} + \alpha\dot{\phi} + K\dot{\phi} - \frac{1}{2} i_{+-,fb}^{s,r} A_{+-,fb}^{s,r} T_{+-,fb}^{s,r} + A_{+-,fb}^{s,r} \quad (12)$$

$$\text{여기서 } A_{+-,fb}^{s,r} = \begin{bmatrix} (u) & (0) \\ (0) & [a_{fb}^r] \end{bmatrix}$$

$$R_{+-,fb}^{s,r} = A_{+-,fb}^{s,r-1} - R_{\alpha\beta, \alpha\beta}^{s,r} A_{+-,fb}^{s,r-1}$$

$$L_{+-,fb}^{s,r} = A_{+-,fb}^{s,r-1} L_{\alpha\beta, \alpha\beta}^{s,r} A_{+-,fb}^{s,r-1}$$

$$T_{+-,fb}^{s,r} = A_{+-,fb}^{s,r-1} - T_{\alpha\beta, \alpha\beta}^{s,r} A_{+-,fb}^{s,r-1}$$

(11)(12)式은 matrix 式 表示하면

$$\begin{bmatrix} v_\alpha^s \\ v_\beta^s \\ v_\alpha^r \\ v_\beta^r \\ L_\mu^{sr} p \\ L_{\mu 2}^{sr} p \\ L_\mu^{sr} (p - jn\phi) \\ L_{\mu 2}^{sr} (p + jn\phi) \\ L_\mu^{sr} p \\ L_{\mu 2}^{sr} p \\ R^r + L_\mu^{sr} (p - jn\phi) \\ L_{\mu 2}^{sr} (p + jn\phi) \end{bmatrix} = \begin{bmatrix} R^s + L_\mu^{sr} p & L_\mu^{sr} p \\ R^s + L_{\mu 2}^{sr} p & L_{\mu 2}^{sr} p \\ L_\mu^{sr} (p - jn\phi) & L_{\mu 2}^{sr} (p - jn\phi) \\ L_{\mu 2}^{sr} (p + jn\phi) & L_\mu^{sr} (p + jn\phi) \\ L_\mu^{sr} p & L_{\mu 2}^{sr} p \\ L_{\mu 2}^{sr} p & L_\mu^{sr} p \\ R^r + L_\mu^{sr} (p - jn\phi) & L_{\mu 2}^{sr} (p - jn\phi) \\ L_{\mu 2}^{sr} (p + jn\phi) & R^r + L_\mu^{sr} (p + jn\phi) \end{bmatrix} \begin{bmatrix} i_\alpha^s \\ i_\beta^s \\ i_\alpha^r \\ i_\beta^r \\ i_{+-,fb}^{s,r} \\ i_{+-,fb}^{s,r} \\ i_{+-,fb}^{s,r} \\ i_{+-,fb}^{s,r} \end{bmatrix} \quad (11)''$$

$$T = J\ddot{\phi} + \alpha\dot{\phi} + K\dot{\phi} - jn \{ L_\mu^{sr} (i_+^s i_+^r - i_+^s i_+^r) + L_{\mu 2}^{sr} [(i_+^s i_+^r)^2 - (i_+^s i_+^r)^2] \} \quad (12)''$$

## 附錄 B 電動機 定數 決定

8 檻 2 相 誘導電動機로서 本論文에서 取扱된 機

械는 General Electric 社 triclad induction Motor (Model 5 K 213 AG 1000) 1HP 를 8極 2相으로捲線하여 使用하였고 定數決定은 1962 年度版 朴文鎬教授著 誘導機器, 1954 年版 Lyon 著 Transient Analysis of Alternating Current Machinery (63—66 pp)에 準하여抵抗, inductance, mutual inductance 를決定하였고 慣性모우멘트는 石黑美種編 電氣工學實驗(155—157 pp)의方法에 依하여 測定하고 마찰계수는 다음과 같은 方法으로 決定하고 檢討를 위해 Richard W. Jones 著 Electric Control System (415 pp)에서 取扱된 바와 같이停止時까지의 總回轉數를 計算値와 測定値를 比較해 보았다.

위方法에 依해 測定하여 計算된 定數는

$$J=0.049893 \text{ [kg} \cdot \text{m}^2\text{]}$$

$$\alpha=0.0106 \text{ [kg} \cdot \text{m/sec]}$$

$$R^r=R^s=3.3[\Omega]$$

$$L_n=51.8 \times 10^{-3} \text{ [henery]}$$

$$L_{sr}=44.5 \times 10^{-3} \text{ [henry]}$$

#### [마찰계수 $\alpha$ 的 決定]

定常狀態로 回轉하고 있든 기계를 電源에서 차단하였을 때 Braking 을 하지 않는 경우 마찰에 依한 制動トルク만이 存在하고 그것이 角速度  $\omega$ 에 比例 한다면 톨크方程式은

$$J \frac{d\omega}{dt} + \alpha\omega = 0$$

$$\omega = Ke^{-\frac{\alpha}{J}t}$$

$t=0$  때 初速度가  $\omega_0$ 라면

$$\omega = \omega_0 e^{-\frac{\alpha}{J}t}$$

가 되므로  $\omega_0$ 의 値가 電源에서 차단한 순간부터  $\frac{\omega}{e}$ 로 감소 되는때 까지의 時間이  $\frac{J}{f}$ 의 値이 될것이다.  $J$ 는 既知이므로  $f$ 가 計算된다.

그림(14)는 위 條件을 마추었을때 電動機의 速度一時間曲線이다. 여기서 求한  $\alpha$ 의 値이 0.0106 [kg·m/sec] 이다.

停止할때 까지의 總回轉數  $n_s$ 는

$$n_s = \frac{1}{2\pi} \int_0^{t_s} \omega dt = \frac{1}{2\pi} \int_0^{t_s} \omega_0 e^{-\frac{d}{J}t} dt = \frac{\omega_0 J}{2\pi f} \left(1 - e^{-\frac{f}{J}t_s}\right)$$

가 되는데 이 式中停止할때 까지의 時間  $t_s$ 를 測定하여 計算된  $n_s$ 와 實測한 値와는 몇% 差에 不過하였다.

#### $\frac{J}{f}$ 측정을 위한 속도一시간곡선

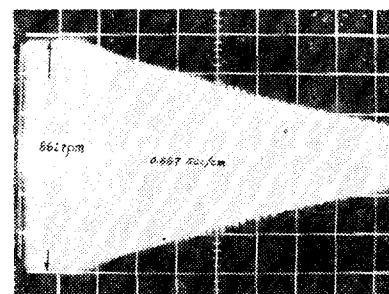


그림-14

(1964年 3月 3日 接受)

#### 參考文獻

1. Electromechanical Energy Conversion by David C. White & Herbert H. Woodson, 1959, John Wiley & Sons, Inc.
2. Transient Analysis of Alternating Current Machinery by Lyon, 1954, (Chapter 3,4).
3. Electric Control Systems by Robert Lien Cosgriff (Chap. 4), 1958, McGraw-Hill.
4. Transient Performance of Electric Power Systems by Reinhold Rüdenberg, (Chapter 17.19), 1950, McGraw-Hill
5. 誘導機器, (1962), 朴曼鎬著, 東明社.
6. 電氣工學實驗, 石黑美種編, (155—157 page), 產業圖書株式會社.
7. E.A. Guillemin's The Mathematics of Circuit Analysis, (Chapt. I, II).
8. Advanced Calculus for Engineers by P.B. Hildebrand, (424~426 page).

(注)

\*1: Electromechanical Energy Conversion (172 page)

\*2: " " " (542 // )

\*3: " " " (421 // )

\*4: " " " (31 // )

\*5: " " " " (62 & 196 page) & Classical Mechanics by Herbert Goldstein (Chapt. I).

\*6: Electromechanical Energy Conversion (180~187 page)